

УДК 538.945 : 548.73 : 543.51 : 536.4

© 1990

**ВЛИЯНИЕ ТЕМПЕРАТУРЫ И ДЕСОРБЦИИ КИСЛОРОДА
НА ПАРАМЕТРЫ РЕШЕТКИ
И СТРУКТУРУ $\text{La}_2\text{SrCu}_2\text{O}_{6+y}$**

*P. C. Бубнова, B. B. Семин, C. K. Филатов,
M. A. Петрова, A. C. Новикова*

В результате терморентгенографических и масс-спектрометрических исследований выявлена и исследована высокая подвижность атомов кислорода в кристаллической структуре низко- и высокотемпературной фаз $\text{La}_2\text{SrCu}_2\text{O}_{6+y}$.

Критические параметры и стабильность кислородсодержащих перовскитоподобных сверхпроводящих материалов в значительной мере определяются особенностями кислородной подструктуры: концентрацией кислорода в соединении и распределением атомов кислорода по различным позициям структуры. Контроль за изменением состояния кислородной подструктуры успешно осуществляется путем комплексного использования методов терморентгенографии и термодесорбционной масс-спектрометрии. Такие исследования, выполненные на материалах систем $\text{Y}-\text{Ba}-\text{Cu}-\text{O}$ [1, 2] и $\text{Bi}-\text{Sr}-\text{Ca}-\text{Cu}-\text{O}$ [3, 4], позволили выявить отклонения от монотонного изменения параметров решетки при нагревании в области 473–673 К, связанные с выделением групп OH^- .

В настоящей работе проведены аналогичные исследования образцов системы $\text{La}-\text{Sr}-\text{Cu}-\text{O}$, которые позволили выявить подобный эффект на температурной зависимости параметров кристаллической решетки и объяснить его потерей летучих компонентов. В области высоких температур обнаружено превращение низкотемпературной (НТ) фазы $\text{La}_2\text{SrCu}_2\text{O}_{6+y}$ в высокотемпературную (ВТ) [5].

**1. Приготовление образцов
и методика измерений**

Образцы были получены твердофазовым синтезом из смеси оксидов La_2O_3 , CuO и SrO марки «осч» при 1223 К с последующим медленным охлаждением. Образцы практически однофазны, полученное соединение $\text{La}_2\text{SrCu}_2\text{O}_{6+y}$ относится к тетрагональной сингонии, пространственной группе $I4/mmm$, структурному типу $\text{Sr}_3\text{Ti}_2\text{O}_7$, [6], параметры и объем элементарной ячейки при 293 К равны $a=3.858$ (1), $c=20.003$ (4) Å и $V=297.7$ (2) Å³. В соответствии с [7] по величине параметра c оценено значение $y \approx 0.1$ для синтезированного образца.

Высокотемпературная фаза, полученная закалкой на воздухе в жидкий азот от 1473 К, относится к тетрагональной сингонии, пространственной группе $I4/mmm$, структурному типу K_2NiF_4 ($a=3.766$ (1), $c=13.172$ (2) Å, $V=186.8$ (1) Å³ при 293 К).

Рентгенографические исследования выполнены на дифрактометре ДРОН-2 в $\text{CoK}\alpha$ -излучении с использованием германия в качестве внутреннего эталона. Терморентгеновские исследования проводились на воз-

духе в интервале 293—1473 К при средней скорости нагрева 50—70 К/ч. Параметры элементарной ячейки вычислялись НК по 13—18 дифракционным максимумам.

Исследования методами термодесорбционной масс-спектрометрии и термодесорбции проводились на экспериментальной установке, изготовленной на базе масс-спектрометра МХ-1303. Термодесорбционные масс-спектры газовой фазы над поверхностью образца измерялись в области температуры 293—1123 К. Измерения проводились при фиксированных значениях температуры с интервалом в 50 К начиная от 293 К. Спектры термодесорбции кислорода (ТД) измерялись по линейному закону со скоростью 0.1 К/с. Перед проведением измерений спектров ТД на образце, предварительно термообработанном при 1123 К в вакууме $1.3 \cdot 10^{-5}$ Па, проводилась сорбция дозированного количества кислорода. Температура образца, при которой проводилась сорбция, варьировалась в интервале 373—673 К.

Дифференциальный термический анализ образцов выполнялся на дифрактометре системы Паулик со скоростью 7.5 К/м.

2. Преобразование низкотемпературной фазы $\text{La}_2\text{SrCu}_2\text{O}_{6+y}$

Тепловое расширение НТ-фазы (рис. 1) близко к изотропному в интервалах 293—698 и 923—1473 К. Температурная зависимость параметров решетки в этих интервалах практически линейна, коэффициенты теплового

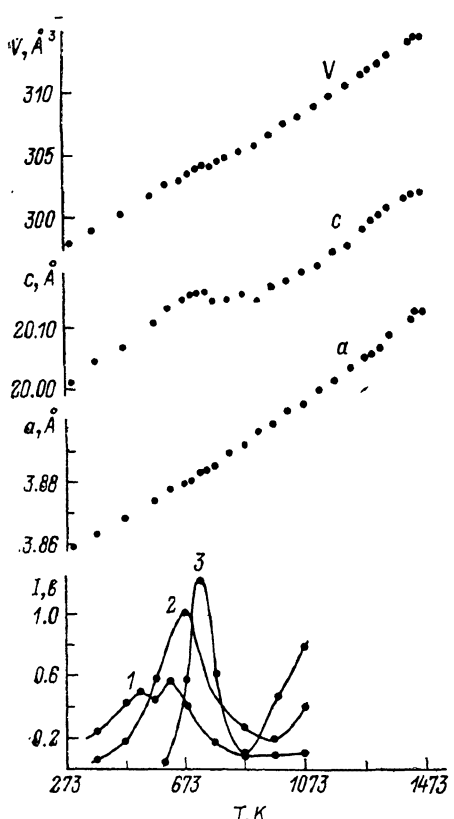


Рис. 1. Температурная зависимость параметров a , c и объема V элементарной ячейки и кривые термодесорбции H_2O (1), CO_2 (2) и O_2 (3) для НТ-фазы $\text{La}_2\text{SrCu}_2\text{O}_{6+y}$.

расширения равны $\alpha_a \approx \alpha_c = 17 \cdot 10^{-6} \text{ К}^{-1}$. При 698 К расширение вдоль оси c прекращается, и до 923 К наблюдается сжатие при нагревании, $\alpha_c = -1.6 \cdot 10^{-6} \text{ К}^{-1}$, температурная зависимость параметра a практически не изменяется. По данным термоанализа, этому же интервалу температуры соответствуют незначительный эндоэффект (733 К) и потеря массы 0.6 %. Если предположить, что эндоэффект связан с выходом из структуры кислорода, то можно оценить потерю кислорода в атомных долях $\Delta y \approx -0.2$.

Покажем, что с этим предположением согласуются изменения температурной зависимости параметра c решетки и данные термодесорбционной масс-спектрометрии (рис. 1). При нагревании в вакууме в области температур до 623 К из образцов в основном выделяются вода и диоксид углерода (рис. 1, кривые 1, 2 соответственно). Кислород в заметном количестве начинает выделяться при температуре, большей 623 К, с максимальной скоростью выделения при 715—740 К. Об этом свидетельствует наличие в спектре термодесорбции кислорода узкого пика в интервале 623—873 К с температурой максимума $T_{\max} = 723$ К (рис. 1, кривая 3). Как видно из рис. 1, во всем температурном интервале, в котором наблюдается аномальное поведение параметра c , из образца выделяются диоксид углерода и кис-

лород причем в спектре термодесорбции максимумы пиков CO_2 и O_2 расположены близко друг к другу. Однако аномальное поведение параметра c , по нашему мнению, связано с выходом кислорода из структуры.

Действительно, как видно из рис. 2, a , в структуре $\text{La}_2\text{SrCu}_2\text{O}_6$ перпендикулярно оси c расположены двойные слои медно-кислородных полизэдров. Атомы меди находятся в тетрагональных пирамидах, причем четыре атома кислорода с $d(\text{Cu}-01)=1.937 \text{ \AA}$ [6] расположены в плоскости, перпендикулярной оси c , а пятый атом кислорода наиболее удален от меди ($d(\text{Cu}-02)=2.27 \text{ \AA}$): эта самая длинная связь в полизэдре ориентирована вдоль оси c . Также вдоль оси c ориентирована и шестая связь $[\text{Cu}-03]$.

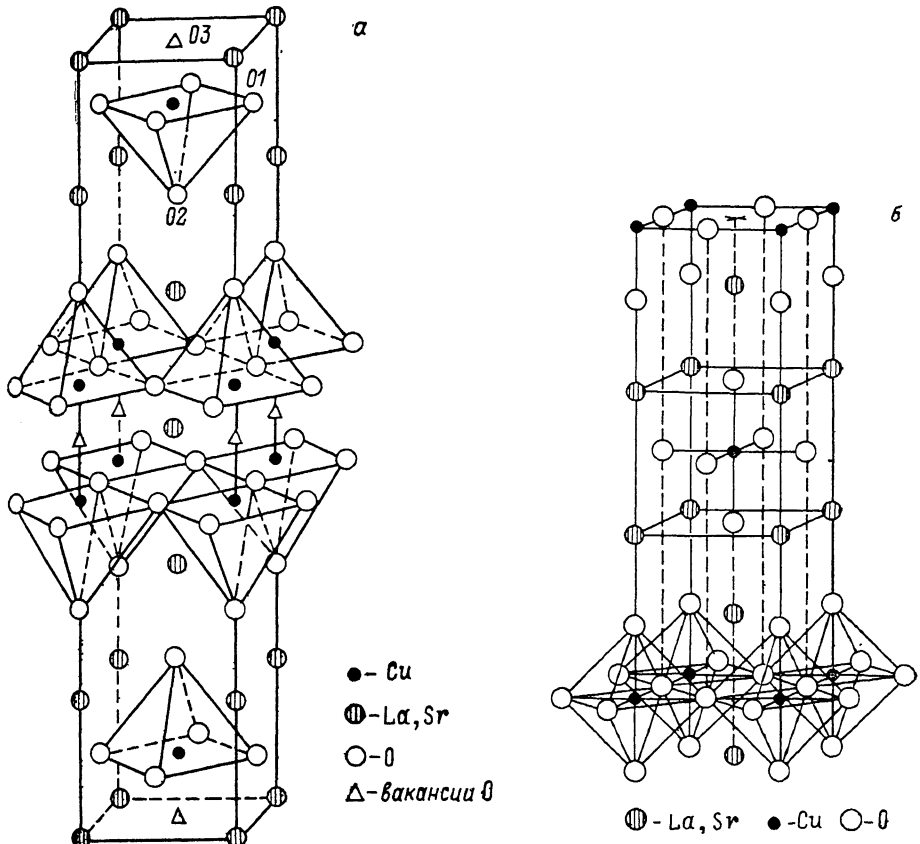


Рис. 2. Кристаллические структуры $\text{La}_2\text{SrCu}_2\text{O}_{6+y}$.

a — НТ-фазы, структурный тип $\text{Sr}_2\text{Ti}_2\text{O}_7$ [6]; b — ВТ-фазы, структурный тип K_2NiF_4 [1].

которая соответствует вакантной или частично заполненной позиции 03. Поэтому можно ожидать, что выход атомов кислорода из позиций 02 или 03 будет сопровождаться сжатием структуры вдоль оси c .

Известно [7, 9], что в зависимости от условий термообработки образцов $\text{La}_2\text{SrCu}_2\text{O}_{6+y}$ меняется содержание кислорода в структуре и до 20 % вакансий 03 ($\text{La}_2\text{SrCu}_2\text{O}_{6.2}$) может быть заполнено кислородом. В исходном исследуемом образце ($y=0.1$) только 10 % вакансий может быть заполнено кислородом. Наличие области отрицательного теплового расширения вдоль оси c и потеря кислорода ($\Delta y \approx -0.2$), по-видимому, свидетельствуют о выходе кислорода из этих позиций 03. Возможно также выделение кислорода из позиций 02 или из позиций 02 и 03 одновременно.

С повышением температуры в интервале 1423—1473 К на воздухе, по данным ДТА и терморентгенографии, происходит обратимый фазовый переход НТ-фазы в ВТ-фазу со структурой типа K_2NiF_4 . В образце, подвергнутом термообработке в течение 3 сут на воздухе и последующей за-

калке, начало перехода зафиксировано при 1373 К. В интервале 1073—1153 К на дифракционной картине обнаружены следы фазы $\text{La}_{1-x}\text{Sr}_x\text{CuO}_{3-y}$ ($0.2 \leq x \leq 0.25$) [1^o]. О существовании этой фазы свидетельствуют увеличение полуширины дифракционного максимума (110) основной фазы, на который налагается 100%-ный пик $\text{La}_{1-x}\text{Sr}_x\text{CuO}_{3-y}$, и незначительный эндоэффект на кривой ДТА при 1143 К, соответствующий исчезновению фазы $\text{La}_{1-x}\text{Sr}_x\text{CuO}_{3-y}$.

В вакууме следы ВТ-фазы обнаружены в образце, нагретом до 1073 К. Как видно из спектра термодесорбции кислорода (рис. 1, кривая 3), после выхода из структуры слабосвязанного O_2 в интервале 623—873 К при дальнейшем увеличении температуры интенсивность выделения кислорода снова начинает увеличиваться и возрастает вплоть до максимальной температуры исследования 1073 К, что, возможно, и приводит к частичному фазовому переходу.

В кристаллической структуре ВТ-фазы атомы меди располагаются в октаэдрах CuO_6 , образующих слои, перпендикулярные оси c (рис. 2, б). Поскольку в этом структурном типе имеется одна система позиций для крупных катионов, то La и Sr размещаются в них статистически. По-видимому, сближение размеров ионов La и Sr, происходящее с повышением температуры и возрастанием амплитуды тепловых колебаний, и является причиной фазового перехода соединения из НТ-фазы (две системы позиций для La и Sr) в ВТ-фазу (одна система позиций). Вакансии, образующиеся из-за дефицита катионов (La+0.5 Sr вместо 2La), распределяются статистически по этой системе позиций, а кислородные вакансии ($\text{LaSr}_{0.5}\text{CuO}_3$ вместо La_2CuO_4), — вероятно, по наиболее удаленным ($d(\text{Cu}—\text{O})=2.4 \text{ \AA}$) осевым вершинам октаэдров CuO_6 (один осевой кислород вместо двух).

3. Преобразование высокотемпературной фазы $\text{LaSr}_{0.5}\text{CuO}_{3+y}$

Температурная зависимость параметров решетки ВТ-модификации в интервале 293—1073 К представлена на рис. 3. При нагревании выше 1073 К на дифракционной картине появляются пики фазы $\text{La}_{1-x}\text{Sr}_x\text{CuO}_{3-y}$. Образование этой фазы вызывает изменение химического состава ВТ-фазы, поэтому исследования теплового расширения ВТ-фазы выше 1073 К не проводились.

Изменение параметра c в интервалах 293—473 и 773—1073 К может быть рассмотрено как тепловое расширение решетки, аппроксимируемое полиномом первой степени с одинаковым коэффициентом, но с различными начальными значениями параметра c . В интервале температур 473—773 К, кроме теплового расширения, наблюдается дополнительное возрастание параметра c . По-видимому, в этом интервале в структуру входит кислород, что и вызывает увеличение параметра c и незначительное изменение температурной зависимости параметра a .

Для проверки этого предположения методом термодесорбции были проведены дополнительные опыты по определению сорбционной способности образца ВТ-фазы, полученного закалкой на воздухе от 1473 К в жидкий азот. Было установлено, что из такого образца, предварительно обезгаженного в вакууме ($P=2 \cdot 10^{-5}$ Па, $T=295$ К), кислород начинает выделяться при нагревании выше 1000 К (рис. 4, кривая 1). Сорбция кислорода на образце, термообработанном в вакууме ($P=2 \cdot 10^{-5}$ Па, $T=1073$ К), протекает с заметной скоростью при температуре, большей 623 К. С увеличением количества сорбированного O_2 от $4 \cdot 10^{17}$ до $1.5 \cdot 10^{18}$ молекул (температура сорбции 723 К) в спектре ТД появляется пик с максимумом при 1023 К (рис. 4, кривые 2—4). При температуре 723 К в течение 0.5 ч сорбировалось $1.5 \cdot 10^{18}$ молекул кислорода (вес навески $P=25$ мг). Однако параметры кристаллической решетки, измеренные после сорбции указанного количества кислорода, остались прежними в преде-

лах ошибки, т. е. вхождение такого количества кислорода недостаточно, чтобы заметно воздействовать на кристаллическую решетку.

Насыщение образца ВТ-фазы большим количеством кислорода проводилось на воздухе при 723 К в течение 1.5 ч, затем образец был закален от этой температуры. После этого зафиксировано увеличение массы образца на 0.7 % ($y=0.13$) и изменение параметров решетки ($a=3.759$ (1), $c=13.232$ (2) Å, $V=187.0$ (1) Å³ при 293 К). Значения параметров решетки для этого случая указаны на рис. 3 звездочкой.

Экстраполяция температурной зависимости параметров a и c от высоких температур к комнатной (штрихи на рис. 3) приводит к таким же значениям. Это совпадение подтверждает предположение о вхождении кислорода в структуру при нагревании на воздухе в интервале 473–773 К.

Таким образом, результаты термогравиометрических и масс-спектромет-

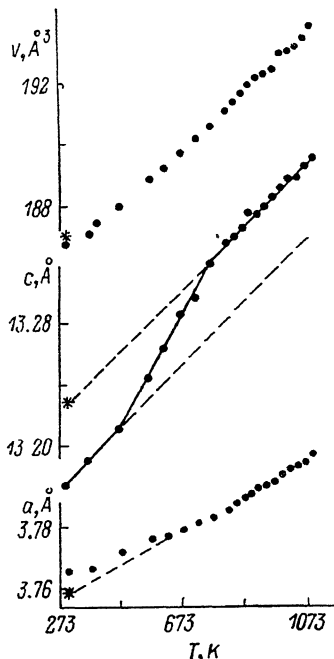


Рис. 3. Температурная зависимость параметров a , c и объема V элементарной ячейки ВТ-фазы $\text{LaSr}_{0.5}\text{Cu}_{3+y}$.

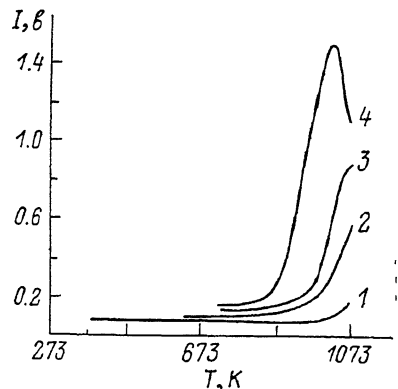


Рис. 4. Спектры термодесорбции кислорода на образце ВТ-фазы $\text{LaSr}_{0.5}\text{Cu}_{3+y}$, предварительно термообработанном в вакууме при 1073 К.

$T_{\text{сорб}}$ (К), $N_{\text{сорб}}$ (мол.), $t_{\text{сорб}}$ (ч): 1 — 373, $4.74 \cdot 10^{17}$, 0.5; 2 — 623, $4.74 \cdot 10^{17}$, 0.5; 3 — 723, $4.74 \cdot 10^{17}$, 1.5; 4 — 723, $1.55 \cdot 10^{18}$, 0.5. $T_{\text{сорб}}$ — температура сорбции, $N_{\text{сорб}}$ — количество сорбированных молекул O_2 , $t_{\text{сорб}}$ — время сорбции.

тических исследований выявляют высокую подвижность атомов кислорода в кристаллической структуре НТ- и ВТ-фаз $\text{La}_2\text{SrCu}_2\text{O}_6$. В образце НТ-фазы, полученным медленным охлаждением от температуры синтеза, содержится избыток кислорода ($y \approx 0.1$), который в интервале 700–900 К, становясь подвижным, выходит из структуры как на воздухе (рис. 1, кривая c), так и в вакууме (рис. 1, кривая β).

Образец ВТ-фазы, полученный закалкой от 1473 К, имеет дефицит кислорода по сравнению с медленно охлажденным образцом. Поэтому на воздухе с повышением температуры кислород может не только выходить из структуры, но и входить в нее извне. Полученные результаты свидетельствуют о том, что с повышением температуры выше 500 К кислород из воздуха начинает заполнять в октаэдре CuO_6 вакантные позиции (на оси c), что и вызывает дополнительное увеличение параметра c (рис. 3). В вакууме в процессе масс-спектрометрического эксперимента этого не наблюдается. Кислород, выделяющийся из кристаллической структуры, непрерывно откачивается, что приводит к дополнительному обеднению структуры кислородом (рис. 4).

Список литературы

- [1] Филатов С. К., Семин В. В., Бубнова Р. С., Назаренко А. В., Хабаров С. Э. // Письма в ЖТФ. 1989. Т. 15. № 4. С. 32—34.
- [2] Филатов С. К., Грачева Т. В., Демиденко В. А., Семин В. В., Петровский Г. Т. // ФТТ. 1989. Т. 31. № 4. С. 40—46.
- [3] Филатов С. К., Семин В. В., Вызенко О. Ф., Трофимов В. Б., Назаренко А. В., Серегин В. Т. // Письма в ЖТФ. 1989. Т. 15. № 3. С. 23—26.
- [4] Филатов С. К., Фотиев А. А., Слободин Б. В., Трофимов В. Б. // Физико-химические основы получения высокотемпературных сверхпроводящих материалов. Информационные материалы. Свердловск, 1989. С. 34—44.
- [5] Bubnova R. S., Petrova M. A., Novikova A. S., Filatov S. K., Grebenshchikov R. G. // Twelfth European Crystallographic Meeting. Collected Abstr. Moscow, 1989. V. 1. P. 475—476.
- [6] Nguyen N., Er-Rakho L., Michel C., Choisnet J., Raveau B. // Mat. Res. Bull. 1980. V. 15. N 7. P. 891—897.
- [7] Michel C., Raveau B. // Rev. Chim. Miner. 1984. V. 24. N 4. P. 407—425.
- [8] Nguyen N., Studer F., Raveau B. // J. Phys. Chem. Sol. 1983. V. 44. N 5. P. 389—400.
- [9] Torrance J. B., Tokura Y., Nazzal A., Parkin S. S. P. // Phys. Rev. Lett. 1988. V. 60. N 6. P. 542—545.
- [10] Murayama N., Sakaguchi S., Wakai F., Sudo E., Tsuzuki A., Torii Y. // Jap. J. Appl. Phys. 1988. V. 27. N 1. P. L55—L56.

Ленинградский государственный университет

Поступило в Редакцию
16 октября 1989 г.